

# 2.3 Das Photonenmodell

Die hergeleiteten Konstanten aus **Kapitel 2.2** suggerieren, dass der Mechanismus der 7-dimensionalen Relativitätstheorie auf alle Materie skalierbar ist. So wird die Darstellung der Sinusperiodizität aus der Kosmologie mit seinem Wellenverhalten auf Quanten im Mikrokosmos übertragen. Dieses Kapitel erläutert das Photonenmodell, welches sich ausschließlich aus den relativistischen Rahmenbedingungen ergibt. Für dieses Modell wird die Vorstellung überwunden, dass Elementarteilchen Punktteilchen sind. Vielmehr sind sie eine kontrahierende und expandierende Hohlkörperschwingung aus überlagerten Oberwellen. Die einfachste Form dieser Oberwellen entspricht dem Photon. Für ein Photon benötigt es neben der Dimension Zeit vier Raumdimensionen, um sein Photonenfeld zu beschreiben. Dieses quantisierte Photonenfeld bildet mit seiner Oberwelle einen Unterraum U für einen 6-dimensionalen Feldvektor, welcher ebenfalls komplexe Strukturen und Verbünde aus mehreren Photonen beschreibt.

#### Photonen sind stets 4-dimensionale Unterräume:

Ein 6-dimensionaler Raum besitzt eine 5-dimensionale Oberfläche. Darin können sich eine Vielzahl von 4-dimensionalen Unterräumen U in Form von Feldkörpern aufhalten. Die Oberfläche eines solchen 4-dimensionalen Unterraums U ist 3-dimensional. Es braucht eine vierte Raumdimension, um einzelne oder mehrere solcher 4-dimensionalen Rotationsbahnen abzubilden. Diesen rotierenden Feldkörpern werden die Eigenschaften von realen Photonen zugeschrieben.

- a) Die Oberfläche einer 4-dimensionalen Hohlkugel ist 3-dimensional. Es braucht vier Dimensionen, um drei 4-dimensionale Rotationsbahnen abzubilden.
- b) Die Oberfläche einer 5-dimensionalen Hohlkugel ist 4-dimensional. Es braucht fünf Dimensionen, um vier 4-dimensionale Rotationsbahnen abzubilden.
- c) Die Oberfläche einer 6-dimensionalen Hohlkugel ist 5-dimensional. Es braucht sechs Dimensionen, um fünf 4-dimensionale Rotationsbahnen abzubilden.

Für ein Photon bedeutet sein 4-dimensionaler Unterraum im 6-dimensionalen Feldraum, dass sich sein quantisierter Drehimpuls mit dem des Universums gleicht; seine Wirkung im Rahmen des Gravitationspotentials des Universums stattfindet; und die Zeigerrichtung seines Feldaustauschs von der periodischen Ausformung des Universums abhängig ist.

#### Integration eines Photons in den Feldraum:

Die erste Herausforderung lautet, eine elektromagnetische Welle, die einer Wellenfunktion folgt, in ein Bezugssystem zu integrieren, welches die Zusammenhänge wie in der **Abbildung 1.5** berücksichtigt. Die diesbezügliche Methode lautet, eine Welle wie eine mathematisch periodische Rotation darzustellen. Mit einer relativistischen Rotationsbewegung, kann der Drehimpuls *L* für seine



relativistische Trägheitskraft modelliert werden. Der Drehimpuls *L* besitzt die Einheit Js für eine Wirkung. Es lässt sich im Rahmen der FRM der Mechanismus des Drehimpulses im Makrokosmos auf den Drehimpuls des Mikrokosmos übertragen. Denn die Photonen müssen gemäß dem Drehimpulserhaltungssatz dem Drehimpuls des Universums folgen. Der ursprüngliche Drehimpuls bleibt unabhängig von einer zusätzlichen Energie erhalten. Da der Drehimpuls eines jeden Photons während seiner Eigenbewegung relativ zu dem Drehimpuls des Universums erhalten bleiben muss, deformiert die Raumzeit den Feldraum am Ort des Feldes. Je größer die Eigenbewegung eines Photons in Form einer höheren Frequenz ist, desto mehr Energie muss dem Photon zugrunde liegen.

### Darstellungsmöglichkeiten:

Die folgenden Darstellungsmöglichkeiten von 4-dimensionalen Unterräumen U wären denkbar. Dabei wird für jedes Kapitel auf die geeignete Abbildung zurückgegriffen.

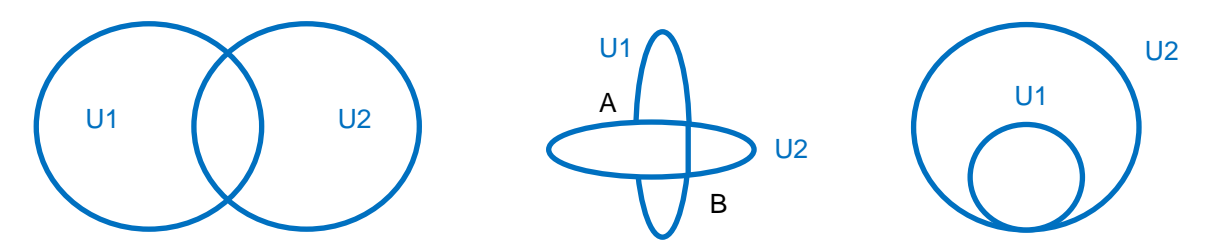


Abbildung 2.8: Mögliche Anordnungen von Unterräumen im Wellenfeld F<sub>4-6</sub>

Nun soll das Photon als elektromagnetische Welle in eine mathematische Rotation in das Wellenfeld  $F_{4-6}$  hinein abstrahiert werden. Die **Abbildung 2.9** realisiert sinusperiodisch rotierende Photonen, welche nach den Ergebnissen der FRM-ART beschrieben werden.

Es gilt der relativistische Zusammenhang für die Feldausbreitungsgeschwindigkeitsvektoren  $V_4$  und  $V_5$ :

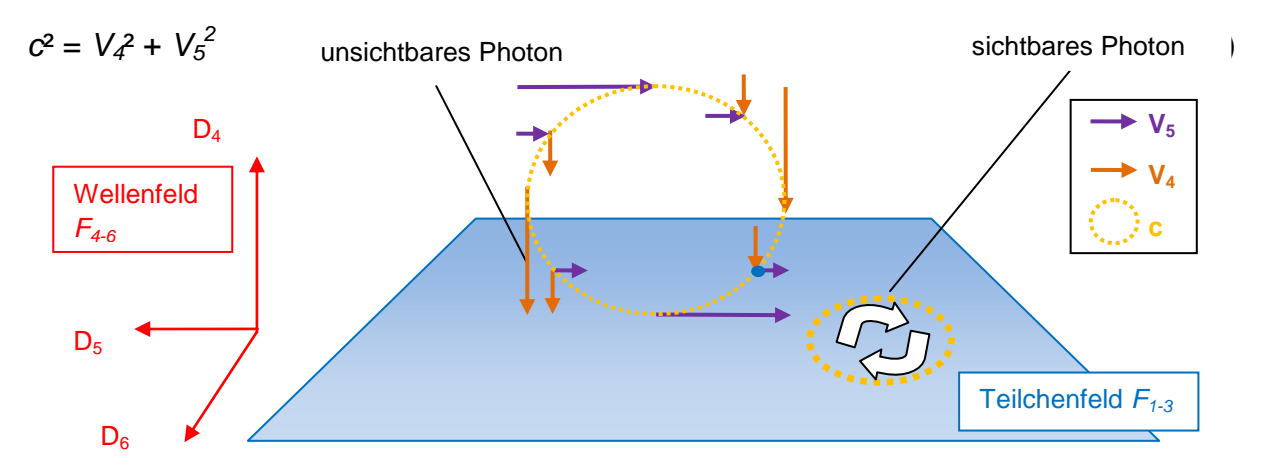


Abbildung 2.9: Links: orthogonal zur Dimensionsebene  $D_{56}$  ein unsichtbares Photon mit seinem Rotationsmechanismus; rechts: parallel zur Dimensionsebene  $D_{56}$  ein rotierendes sichtbares Photon



Die **Abbildung 2.9** zeigt dabei mehrere Fähigkeiten eines Photons gleichzeitig auf. Der aktuelle Trägheitszustand einer Welle soll als kleiner blauer Punkt markiert sein. Dieser rotiert entlang seiner prospektiven Bahnkurve stets mit der Maximalgeschwindigkeit  $V_{max} = c = 299792458 \frac{m}{s}$  entlang. Dabei verändern sich im Wellenfeld  $F_{4-6}$  die Feldausbreitungsgeschwindigkeitsvektoren  $V_4$  und  $V_5$  während seiner Bahn periodisch. Mit der periodischen Veränderung seiner Feldausbreitungsgeschwindigkeiten ändert sich während der Rotation sein Raumzeitverhalten dynamisch. Diese oben dargestellte periodische Abfolge seiner Trägheitsbewegung im Wellenfeld  $F_{4-6}$  wird auch seine Gravitationskraft ausgehend am Berührungspunkt auf der Dimensionsebene  $D_{56}$  sinusförmig bzw. wellenförmig in das Teilchenfeld  $F_{1-3}$  vermitteln. Es wird die besagte Gravitationswelle registriert.

Die **Abbildung 2.9** zeigt aber noch mehr. Je nach Lage, ob ein Photon orthogonal zur Dimensionsebene  $D_{56}$  rotiert oder nicht, kann es unterschiedlich registriert werden. Im Wellenfeld  $F_{4-6}$  parallel zur Dimensionsebene  $D_{56}$  rotierende Photonen tauschen ihr Photonenfeld kontinuierlich mit dem Teilchenfeld  $F_{1-3}$  aus. Diese Photonen beinhalten neben den kurz- und langwelligen unter anderem auch für das Auge sichtbaren Frequenzbereich. Mit diesen Photonen wird in Experimenten die Lichtgeschwindigkeit gemessen. Solche Photonen sind Teil der **registrierenden Materie** und sollen zusammenfassend als **sichtbare Photonen** bezeichnet werden. Während die sogenannten **unsichtbaren Photonen** im Wellenfeld  $F_{4-6}$  orthogonal zur Dimensionsebene  $D_{56}$  rotieren, können diese nur unter bestimmten Bedingungen (**Kapitel 3**) und periodisch ihr Photonenfeld in das Teilchenfeld  $F_{1-3}$  vermitteln. Solche unsichtbaren Photonen existieren dennoch auch ohne eine direkte Registrierung durch einen Beobachter und werden der **verborgenen Materie** zugeordnet.

# Folgende Quantenprinzipien für Photonen werden postuliert:

- **10)**Photonen besitzen Felder im Wellenfeld  $F_{4-6}$ , die kontrahierend und expandierend relativistisch in der Raumzeit schwingen, während diese makroskopisch im Teilchenfeld  $F_{1-3}$  als Feldlinien abstrahiert werden.
- **11)**Eine Feldausbreitungsgeschwindigkeit  $V_4$  in der vierten Dimension und die Feldausbreitungsgeschwindigkeit  $V_5$  in der fünften Dimension bilden zusammen eine Drehmatrix entlang des Einheitsvektors  $\overrightarrow{e_6}$  ab, welche parallel zur Dimensionsebene  $\overrightarrow{e_6}$  d $D_4$ d $D_5$  =  $\overrightarrow{dA}$  =  $D_{45}$  verläuft und stets die Maximalgeschwindigkeit  $V_{max}$  = c im Vakuum mit 299792458  $\frac{m}{s}$  ergibt. Es gilt die Beziehung:

$$C^2 = V_4^2 + V_5^2$$



- **12)**Die Ergebnisse der Längenkontraktion und Zeitdilatation erreichen den Faktor 1 genau dann, wenn die Objektgeschwindigkeit  $V_3 = 0$  ergibt. Entsprechend gilt der Zustand  $V_4 = 0$  mit  $V_5 = c$ .
- **13)**Die Objektzeit  $t_{Obj}$  eines Teilchens ist von seiner Feldausbreitungsgeschwindigkeit  $V_5$  abhängig, welche sich in der Dimensionsebene  $D_{56}$  entfaltet.
- **14)**Es kann mit der Objektzeit  $t_{Obj}$  und seiner Feldausbreitungsgeschwindigkeit  $V_5$  die Länge einer emittierten Feldlinie in einem Geschwindigkeitsdiagramm für alle Dimensionen  $D_{1-3}$  im Teilchenfeld  $F_{1-3}$  gemessen werden.
- **15)**Der gemeinsame Berührungspunkt für Photonen, welcher sichtbare Materie vermittelt, liegt exakt in der Dimensionsebene  $D_{56}$ , die zwischen der fünften und sechsten Dimension aufgespannt wird. Der gemeinsame Berührungspunkt für verborgene Teilchen liegt oberhalb oder unterhalb der Dimensionsebene  $D_{56}$ .

#### Feldkörperbetrachtung:

Aufgrund der räumlich beschränkenden 3-dimensionalen Beschaffenheit des Teilchenfelds kann ein einzelner Feldkörper im Teilchenfeld  $F_{1-3}$  nur maximal 3-dimensional in allen Raumrichtungen existieren. Für jede Raumrichtung  $D_1$ ,  $D_2$ ,  $D_3$  im Teilchenfeld  $F_{1-3}$  verbleibt für einen 4-dimensionalen Unterraum U lediglich ein einzelner Feldvektor im Wellenfeld  $F_{4-6}$  übrig, in dem sich ein Feld ausbreiten kann. Dieser stellt sich im Wellenfeld  $F_{4-6}$  jeweils als ein 1-dimensionalen Feldvektor für jede der Raumrichtungen  $D_4$ ,  $D_5$ ,  $D_6$  dar. Für die Darstellung einer der drei möglichen 4-dimensionalen Unterräume dient mit einem blauen Pfeil die **Abbildung 2.10**. Dieser zeigt einen 6-dimensionalen Feldvektor für den Fall, dass für drei Raumrichtungen eines Objektes im Teilchenfeld  $F_{1-3}$  eine Dimension im Feld  $F_{4-6}$ , z.B. auf der vierten Dimension, entfällt.

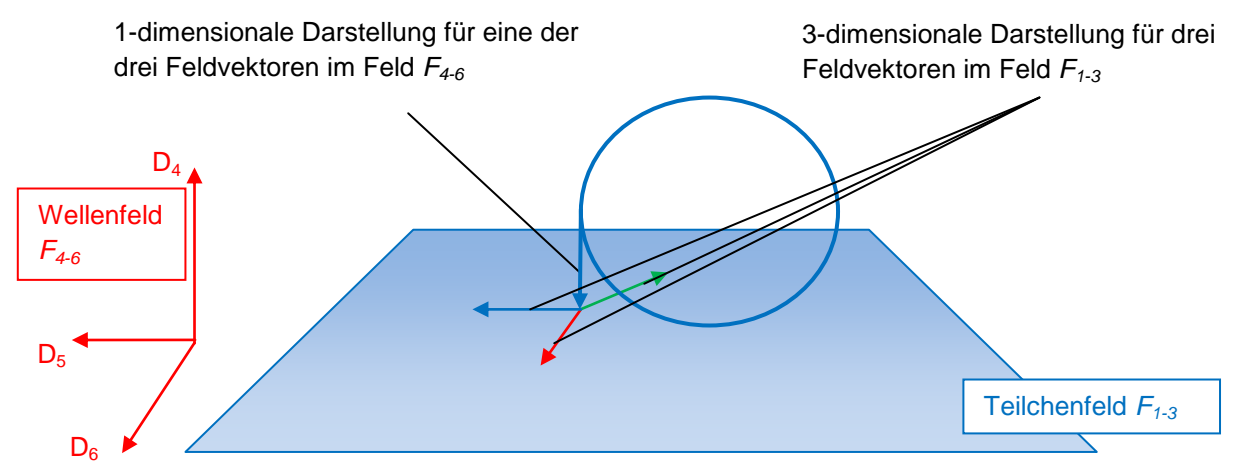


Abbildung 2.10: 4-dimensionale Darstellung eines Unterraums im Wellenfeld  $F_{4-6}$ 



Diese Darstellung entspricht aus Sicht des Teilchenfeldes  $F_{1-3}$  dem Wellencharakter eines Photons.

Für diesen Feldkörper sind weitere 1-dimensionale Feldvektoren für die fünfte und sechste Raumrichtung im Feld  $F_{4-6}$  denkbar. Die **Tabelle 2.1** soll dazu den sechsstelligen Feldvektor aufzeigen, der gleichzeitig dem Objekt seinen 3-dimensionalen Wellencharakter verleiht. Dieser Vektor beschreibt eine erste Information darüber, wie Photonen geometrisch im Raum rotieren können und wie der Feldaustausch mit dem Teilchenfeld  $F_{1-3}$  wirkt.

Dimensionen 4-dim. Rotations-	1	2	3	4	5	6
bahnen 1	X	X	X	X	/	/
2	Х	Х	Х	/	Х	/
3	Х	Х	Х	/	/	Х

Tabelle 2.1: Die drei möglichen 6-dimensionalen Feldvektoren für die 3-dimensionale Feldkörperbetrachtung im Teilchenfeld  $F_{1-3}$ 

"X" bedeutet das Aufspannen eines 4-dimensionalen Unterraums U, während "/" bedeutet, dass für diese Dimension keine Raumrichtung aufgespannt wird.

Der sechsstellige Feldvektor (1) kann mit den folgenden Indizes als **Dimensionsebene** zwischen Teilchenfeld  $F_{1-3}$  und Wellenfeld  $F_{4-6}$  bezeichnet werden:  $D_{14/24/34}$ .

### Betrachtung des Feldcharakters von Photonen:

Der dargestellte Feldkörper existiert zwar mit seiner 1-dimensionalen Feldkomponente bereits, kann jedoch nur messbar wahrgenommen werden, wenn dieser Felder in das Teilchenfeld  $F_{1-3}$  emittiert. Dies gelingt nur, wenn ein Teil des Feldvektors in der Dimensionsebene  $D_{56}$  liegt, der parallel zum Teilchenfeld  $F_{1-3}$  verläuft, um sein Feld aus dem Wellenfeld  $F_{4-6}$  auszutauschen. Ein weiterer Teil des Feldvektors muss in der Dimensionsebene  $D_{45}$  verlaufen, welches parallel zum elektrischen Potential des Photonenfeldes eine Ladung generiert.

Gelöst wird dieser Konflikt, indem eine Feldemission einen rotierenden Charakter gemäß **Abbildung 2.10** – blauer Kreis – erhält. Eine periodisch wiederkehrende Rotation in der Dimensionsebene  $D_{45}$  generiert eine Ladung im Photonenfeld, während die Dimensionsebene  $D_{56}$  den Feldaustausch zwischen Wellenfeld  $F_{4-6}$  und Teilchenfeld  $F_{1-3}$  periodisch ermöglicht. Die dazugehörigen Feldvektoren im Wellenfeld  $F_{4-6}$  müssen für einen möglichen Feldaustausch von einer 1-



dimensionalen auf eine 2-dimensionalen Feldkomponente erweitert werden, während jeweils eine Raumrichtung aus dem Teilchenfeld im Feld  $F_{1-3}$  hierfür reduziert wird. Es entsteht ein 6-dimensionaler Feldvektor, der im Wellenfeld  $F_{4-6}$  2-dimensional in der Dimensionsebene  $D_{45}$  verläuft und im Teilchenfeld  $F_{1-3}$  für jede Raumrichtung einen 2-dimensionalen Wellencharakter besitzt. Es ergibt sich schließlich ein periodisch wiederkehrender Impuls für sein Wellenmaximum aus dem Wellenfeld in das Teilchenfeld. Dieser Impuls wird im Verlauf der Abhandlung als **Materiepuls** bezeichnet.

Diese Darstellung entspricht aus Sicht des Teilchenfeldes  $F_{1-3}$  dem Impulscharakter eines Photons.

Die **Tabelle 2.2** zeigt die Änderungen des 4-dimensionalen Unterraums für jede Raumrichtung.

Dimensionen  4-dim. Rotations- bahnen	1	2	3	4	5	6
4	Х	Х	/	Х	Х	/
5	Х	/	Х	Х	X	/
6	/	X	Х	Х	Х	/

Tabelle 2.2: Die drei möglichen 6-dimensionalen Feldvektoren für einen periodischen 2-dimensionalen Feldaustausch im Teilchenfeld  $F_{1-3}$ 

Die sechsstelligen Vektoren (4), (5), (6) rotieren 2-dimensional parallel zur **Dimensionsebene**  $D_{45}$ .

Die geometrische Ausbreitung eines Feldes im Teilchenfeld verhält sich wie eine Longitudinalwelle, während sein Feldkörper einer Transversalwelle entspricht. Die über die Dimensionsebene  $D_{56}$  vermittelten Feldkräfte werden im Teilchenfeld folglich als starrer Körper wahrgenommen. Das Photon mit seinem 2-dimensionalen Impuls wird im Teilchenfeld lediglich als Punktteilchen registriert, was es faktisch nicht ist. Der **Welle-Teilchen-Dualismus** von Photonen und Teilchen im Teilchenfeld  $F_{1-3}$  kann auf seine Selbstwechselwirkung mit seinem eigenen 2-dimensionalen Feld in der Dimensionsebene  $D_{56}$  aus dem Wellenfeld  $F_{4-6}$  zurückgeführt werden.

Hinweis: Welle-Teilchen-Dualismus für sichtbare Photonen

Die sichtbaren Photonen, die über einen Schirm gemessen werden, besitzen die Feldkörperdarstellung des Vektors zwei und drei aus **Tabelle 2.1**, weil diese nach **Abbildung 2.9** rechts bereits parallel zur Dimensionsebene  $D_{56}$  rotieren. Sie können lediglich durch eine zusätzliche Felddeformation in Form einer Reduzierung der



Feldausbreitungsgeschwindigkeit  $V_5$  kontrahiert werden. Die Rotation parallel zur Dimensionsebene  $D_{56}$  erzeugt für ihre periodische Trägheitsbewegung eine konstante Gravitationskraft, welches mit seiner Umgebung lediglich als Raumzeitquant wechselwirkt. Eine Ladung und damit ein zu vermittelndes elektrisches Feld schließt sich aus, da keine Rotationskomponente in der Dimensionsebene  $D_{45}$  vorliegt.

Im Doppelspaltexperiment wird mit der Aufnahme eines Punktes das Impulsverhalten eines gesendeten Photons für das Teilchenfeld festgestellt. Die Verteilung mehrerer dieser Punkte visualisiert die sinusperiodischen Trägheitsbewegung der gesendeten Photonen aus dem Wellenfeld.

### Kraftgleichung des Photons:

Für die maximale Feldkraftwirkung eines 4-dimensionalen Unterraums aus dem Photonenfeld in einer Sinus-periodischen kontrahierten Gleichung gilt:

$$F(t) = m_{Obj} a_5(t) = m_{Obj} r''(t)$$

mit: 
$$r(t) = R \sin(kt)$$
;  $k = \sqrt{\frac{G m_{Obj}}{R^3}}$ ;  $Rk = c$ 

$$F(t) = m_{Obj} R_{Obj} k_{Obj}^2 \sin(kt) = m_{Obj} c k_{Obj} \sin(kt)$$
(2.28)

F(t) – relativistische Kraft

*m*<sub>Obi</sub> – Objektmasse

R<sub>Obi</sub> - Feldradius des Objektes

k<sub>Obi</sub> – Kreisfrequenz des Objektes

c – Maximalgeschwindigkeit  $V_{max} = c$ 

Der Term sin(kt) in der Kraftgleichung entspricht dem gleichen Mechanismus wie die Formel (2.20) für das Universum. Die größte Wirkung einer Vermittlung der Kraft F(t) ist dann erreicht, wenn diese in der Dimensionsebene  $D_{56}$  stattfindet.

#### Hinweis für die Fälle, bei denen die Wellenlänge größer als der Feldradius ist:

Für die Berechnung der Kräfte von Objekten, die einen größeren Betrag für ihre Wellenlänge als seinen Feldradius besitzen, z.B. für das Schwerefeld der Erde, muss die Formel angepasst werden. Nimmt ein Beobachter in der Nähe die Oberfläche eines Volumenkörpers wahr, welches den Abstand zu seinem eigentlichen Feldradius R vergrößert, verringert sich durch den vergrößerten Abstand die lokale Deformation der Raumzeit und folglich auch die wirkende Oberflächengravitation.



Der Feldradius R aus der Formel (2.28) wird in solchen Fällen durch den Volumenradius des Objektes ersetzt:

$$R = \frac{\lambda}{2\pi}$$

Die Kreisfrequenz k wird entsprechend auf diese Verhältnisse skaliert, denn sein Drehmoment besitzt in solchen Fällen einen größeren Volumenradius. Ebenfalls ist die Maximalgeschwindigkeit  $V_{max} = c$  auf die kosmische Kreisgeschwindigkeit des Objektes anzupassen. Auf dieser Weise lässt sich die Oberflächengravitation von beliebigen Objekten bestimmen, deren Wellenlänge größer als sein Feldradius' ist.

#### Energiegleichung für das Photon:

Energie ist als Summe aller Kräfte definiert, die über einen Weg  $\Delta s$  aufgetreten sind:

$$E(\Delta s) = \int_0^{\Delta s} F(t, s) ds$$

 $\rightarrow$  F(t, s) gibt die Kraft F(t) abhängig von seiner Position im Raum an

Am Ort der minimalen Lorentztransformation des Universums breitet sich ein Photon mit der Maximalgeschwindigkeit  $V_5 = c$  aus. Wenn ein bestimmter Weg  $\Delta s = c \Delta t$  bzw. ds = c dt dem Weg  $\Delta s = c T$  entspricht, den ein Photon mit einer Periodenlänge T zurücklegt, gilt: c = kR.

Der maximale Energieübertrag wird während der Phase der maximalen Ausdehnung 2-dimensional in den Unterräumen im Wellenfeld  $F_{4-6}$  auf der Dimensionsebene  $D_{56}$  geleistet. Bezüglich der 3-dimensionalen Rotation im Teilchenfeld  $F_{1-3}$  schwingen die Photonen mit einem Sinus heraus. Hierzu ist ein weiterer Faktor  $\sin(kt)$  aus der ursprünglichen Orientierungsachse anzusetzen.

$$E(\Delta s) = \int_0^{\Delta s} F(t, s) \sin(kt) \, ds = \int_0^T c \, F(t) \sin(kt) \, dt = \int_0^T m_{obj} \, R_{Obj}^2 \, k_{Obj}^3 \, \sin^2(kt) \, dt$$

$$E(\Delta s) = \frac{1}{2k} \, m_{Obj} \, R_{Obj}^2 \, k_{Obj}^3 \, \{ [k_{Obj} \, T - \cos(kT) \sin(kT)] \}$$

$$E(\Delta s) = \frac{1}{2} \, m_{Obj} \, R_{Obj}^2 \, k_{Obj}^2 \, \{ [k_{Obj} \, T - \cos(kT) \sin(kT)] \}$$
(2.29)

 $k_{Obj} T$  - Komponente des Drehimpulses

cos(kT) sin(kT) – Komponente der elektromagnetischen Oszillation



#### Herleitungsvariante 1:

Der Mittelwert aller halben Wellenbewegungen einer elektromagnetischen Oszillation liefert mit:  $\frac{1}{2} [k_{Obj} T - \cos(kT) \sin(kT)] = 1$ 

$$E = m_{Obj} R_{Obj}^2 k_{Obj}^2$$
 mit:  $c^2 = R^2 k^2$   
 $E = m_{Obj} c^2$  (2.30)

### Herleitungsvariante 2:

Für den Fall, dass E(S) mit Distanzen  $S >> \Delta s = c T$  gegeben sei, dann gilt für unzählige Integrale über eine Wegstrecke  $\Delta s$ , die der Wellenlänge  $\lambda$  von Photonen entsprechen:

mit: 
$$S = n \Delta s$$
  $n \in N$   $S >> \Delta s$  gilt:  $-\cos(kT)\sin(kT) = 1$ 

$$E(S) = n \ E(\Delta s) = \frac{1}{2} \ n \ m_{Obj} \ R_{Obj}^2 \ k_{Obj}^2 [k_{Obj} \ T]$$

$$E(S) = n E(\Delta s) = \frac{1}{2} n m_{Obj} R_{Obj}^{2} \left( \sqrt{\frac{G m_{Obj}}{R_{Obj}^{3}}} \right)^{2} [k_{Obj} T]$$
 mit:  $k = \sqrt{\frac{G M}{R^{3}}}$ 

$$E(S) = n E(\Delta S) = \frac{1}{2} n m_{Obj} R_{Obj}^2 \frac{G m_{Obj}}{R_{Obj}^3} [k_{Obj} T]$$

$$E(S) = n E(\Delta s) = \frac{1}{2} n m_{Obj} \frac{G m_{Obj}}{R_{Obj}} [k_{Obj} T]$$

$$E(S) = n E(\Delta s) = \frac{1}{2} n \frac{G m_{Obj}}{R_{Obj}} [k_{Obj} m_{Obj}] \frac{\lambda_{Obj}}{c}$$
 mit:  $T = \frac{\lambda}{c}$ 

$$E(S) = n E(\Delta s) = \frac{1}{2} n \frac{G m_{Obj}}{G m_{Obj}} c^2 \left[ k_{Obj} m_{Obj} \right] \frac{\lambda_{Obj}}{c}$$
 mit:  $R = \frac{G M}{c^2}$ 

$$E(S) = n E(\Delta s) = \frac{1}{2} n c [k_{Obj} m_{Obj}] \lambda_{Obj}$$

$$E(S) = n E(\Delta S) = \pi n c [k_{Obj} m_{Obj}] R_{Obj}$$
 mit:  $R = \frac{\lambda}{2\pi}$ 



Der Mittelwert aller halben Wellenbewegung gegenüber dem Teilchenfeld  $F_{1-3}$  mit Division  $\pi$  liefert:

$$E(S) = n E(\Delta s) = c k_{Obj} m_{Obj} R_{Obj}$$
 für  $n = \frac{S}{\Delta s} = 1$ 

$$E = R_{Obj} m_{Obj} k_{Obj} c$$
 mit:  $c = k R$ 

$$E = m_{Obj} R_{Obj}^2 k_{Obj}^2 = m_{Obj} c^2$$
 (2.31)

$$E = m_{Obj} G \{m_{Obj} k_{Obj}\} \frac{1}{c}$$
 (2.32)

$$E = \frac{\lambda_{Obj}}{\lambda_{Obj}} R_{Obj} m_{Obj} k_{Obj} c = h f_{Obj}$$
 [E] = J (2.33)

# Formel für das plancksche Wirkungsquantum h:

$$h = \lambda_{Obj} R_{Obj} m_{Obj} k_{Obj} = \lambda_{Obj} m_{Obj} c$$
 [h] = Js (2.34)

E – Energie  $m_{Obj}$  – Objektmasse

h – plancksches Wirkungsquantum  $R_{Obi}$  – Feldradius des Objektes

G – Gravitationskonstante  $k_{Obj}$  – Kreisfrequenz des Objektes

 $f_{Obj}$  – Objektfrequenz c – Maximalgeschwindigkeit

λ<sub>Obi</sub> – Wellenlänge des Objektes

Es kann der Index "*Uni*" für Universum mit den Parametern des Indexes "*Obj*" für Objekt getauscht werden, solange die universalen Verhältnisse zwischen der Masse M, dem Feldradius R und der Kreisfrequenz k gewahrt bleiben.



$$M_{Uni} \rightarrow m_{Obj}$$
;  $R_{Uni} = \frac{G M_{Uni}}{c^2} \rightarrow R_{Obj} = \frac{G m_{Obj}}{c^2}$ ;

$$k_{Uni} = \sqrt{\frac{G M_{Uni}}{R_{Uni}^{3}}} \rightarrow k_{Obj} = \sqrt{\frac{G m_{Obj}}{R_{Obj}^{3}}}$$

$$m_{Obj} k_{Obj} = M_{Uni} k_{Uni} = \text{konstant} = 4,0396 \ 10^{35} \frac{\text{kg}}{\text{s}}$$
 (2.35)

$$R_{Obj} k_{Obj} = R_{Uni} k_{Uni} = \text{konstant} = 299792458 \frac{\text{m}}{\text{s}}$$
 (2.36)

$$\frac{M_{Uni}}{R_{Uni}} = \frac{m_{Obj}}{R_{Obj}} = \text{konstant} = 1,34746 \ 10^{27} \frac{\text{kg}}{\text{m}}$$
 (2.37)

$$\lambda_{Obj} R_{Obj} m_{Obj} k_{Obj} = \lambda_{Uni} R_{Uni} m_{Uni} k_{Uni} = \text{konstant} = 6,626 \ 10^{-34} \text{ Js}$$
 (2.38)

$$c^{2} = \frac{G M_{Uni}}{R_{Uni}} = \frac{G m_{Obj}}{R_{Obj}}$$
 (2.39)

$$c = \sqrt[3]{G \, M_{Uni} \, k_{Uni}} = R_{Uni} \, k_{Uni} \rightarrow c = \sqrt[3]{G \, m_{Obj} \, k_{Obj}} = R_{Obj} \, k_{Obj}$$
 (2.40)

Hier ein spezielles Beispiel:

$$m_{Obj} = \frac{h \ c^2}{G \ \{m_{Obj} \ k_{Obj}\} \ \lambda_{Obj}} = \frac{h}{c \ \lambda_{Obj}} = \frac{h \ f_{Obj}}{c^2}$$
(2.41)

$$h = 6,626 \ 10^{-34} \ \text{Js}; \ c = 299792458 \ \frac{\text{m}}{\text{s}}; \ m_{Obj} \ k_{Obj} = \sqrt{\frac{(c^2)^3}{(G)^2}} = 4,0396 \ 10^{35} \ \frac{\text{kg}}{\text{s}};$$
  
 $G = 6.67 \ 10^{-11} \ \text{N} \frac{\text{m}^2}{\text{kg}^2};$ 

$$E_{Pho} = h f_{Pho} = 3.6 \ 10^{-19} \text{ J} \rightarrow f = 5.431 \ 10^{14} \text{ Hz}; \lambda = 552 \text{ nm}$$

$$m_{Pho} = \frac{6,626 \ 10^{-34} \ \text{Js} \cdot \left(\sqrt[3]{6,67 \ 10^{-11} \ \text{N} \frac{\text{m}^2}{\text{kg}^2} \cdot 4,0396 \ 10^{35} \frac{\text{kg}}{\text{s}}}\right)^2}{6,67 \ 10^{-11} \ \text{N} \frac{\text{m}^2}{\text{kg}^2} \cdot 4,0396 \ 10^{35} \frac{\text{kg}}{\text{s}} \cdot 552 \ \text{nm}}$$

$$\underline{m}_{Pho} = 4,004 \ 10^{-36} \ \text{kg}$$

Gegenprobe: 
$$\underline{m_{Pho}} = \frac{3.6 \cdot 10^{-19} \text{ J}}{c^2} = \underline{4.004 \cdot 10^{-36} \text{ kg}}$$



#### Erkenntnisse:

- → Das Verhältnis der Masse *M* zur Größe der Kreisfrequenz *k* wird bestätigt.
- → Die Schwingung des Photons verhält sich wie die Schwingung des Universums.
- → Bestätigung: die Masse ist proportional zu seiner Frequenz: *M* ~ *f*

# <u>Drehimpuls L<sub>Dreh</sub> von Photonen im Wellenfeld und Teilchenfeld:</u>

Nachfolgend wird der Mechanismus eines schwingenden unsichtbaren Photons untersucht, welcher orthogonal zur Dimensionsebene  $D_{56}$  rotiert. Der relativistische Zustand ist in diesem Fall durch den Lorentzfaktor 1 dargestellt.

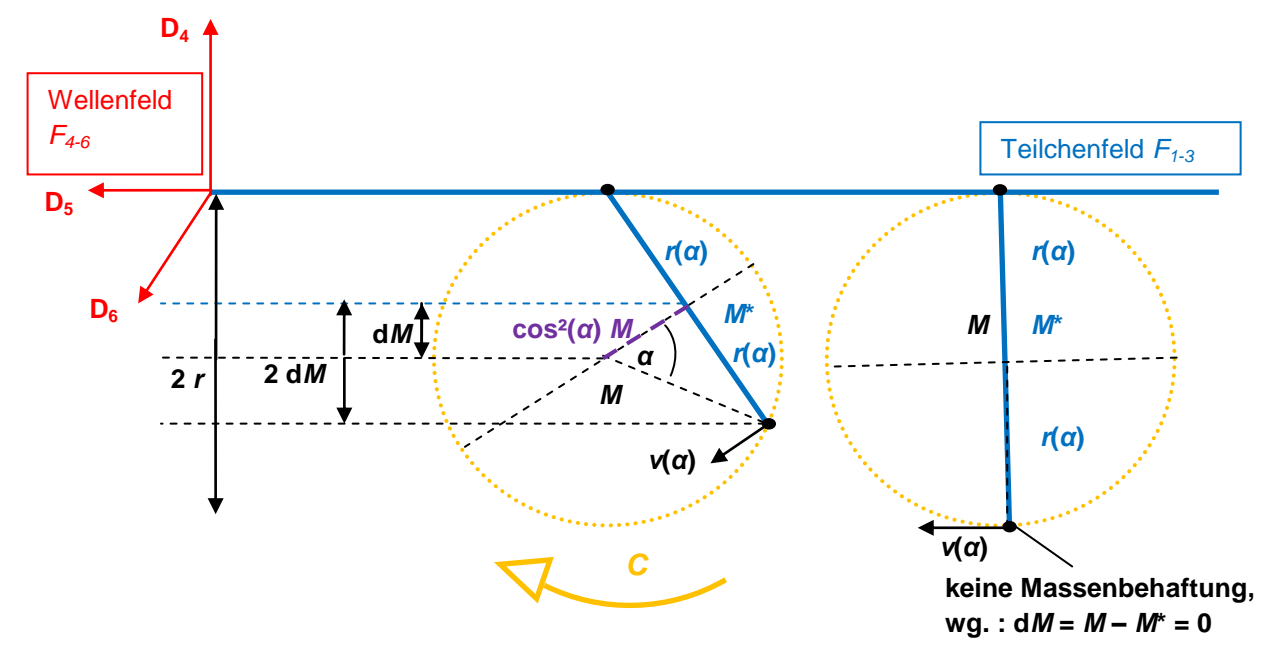
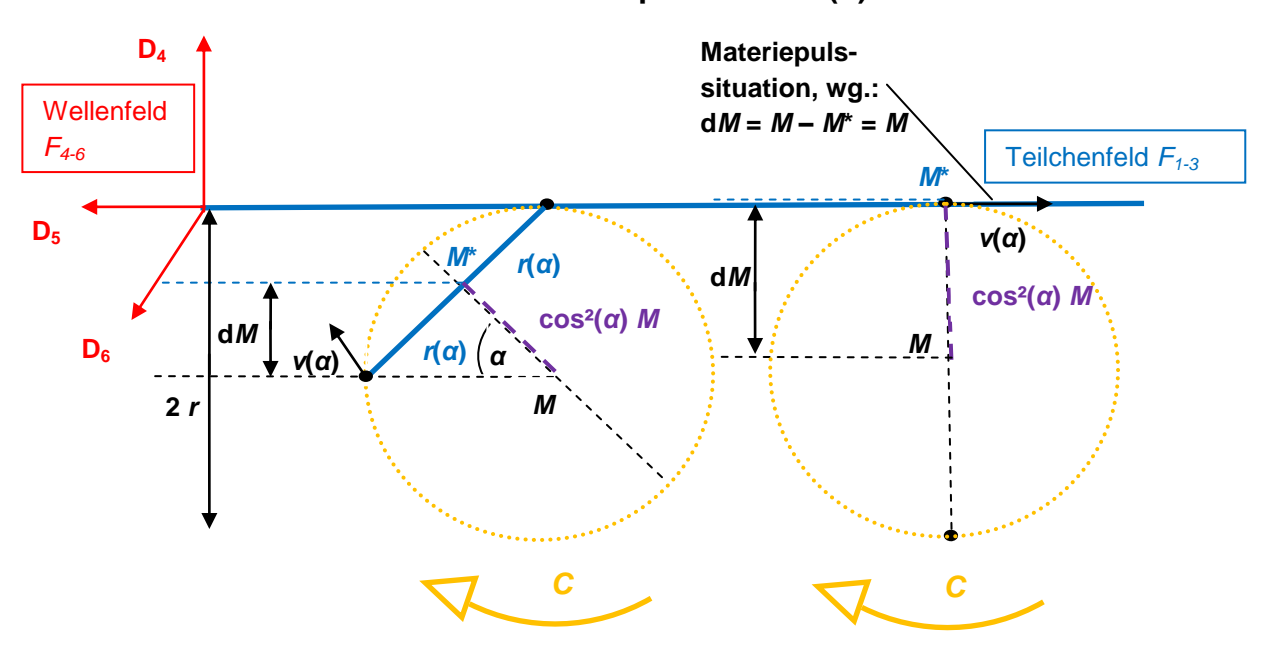


Abbildung 2.11: Abhängigkeiten des Radius  $r(\alpha)$ , der Geschwindigkeit  $v(\alpha)$  des Unterraums U mit dem Gravitationspotential d $M(\alpha)$  über eine Periode T



**Abbildung 2.12: Verlauf einer Rotation** 



$$v(\alpha) = c \sin(\alpha)$$

$$r(\alpha) = R \sin(\alpha)$$

$$\alpha = kt$$

$$k = konst.$$

$$T \epsilon (0; T)$$

T = Periodenlänge eines rotierenden Photons

Der klassische Ansatz des Drehimpulses gilt stets unter allen relativistischen Zuständen weiter fort.

Klassischer Ansatz: 
$$L = m v r$$
 (2.42)

Der Unterraum U besitzt einen Radius  $r(\alpha)$ , der mit einer Geschwindigkeit  $v(\alpha)$  um eine Achse durch den Mittelpunkt mit der Trägheitsmasse  $M^*$  rotiert. Die Länge bezüglich der Trägheitsmasse  $M^*$  muss mit 2 multipliziert werden, um die Länge  $2r(\alpha)$  abzubilden. Der Winkel  $\alpha$  kann während der Rotation nur maximal einen Winkel von 45° annehmen. So kann die Trägheitsmasse  $M^*$  minimal mit 0 oder maximal mit der Masse M vorliegen. dM lässt sich trigonometrisch durch  $M\cos^2(\alpha)$  darstellen. Damit  $r(\alpha)$  als Oberflächenradius abgebildet werden kann, benötigt es das Produkt  $2\pi$ . Der Ansatz für den Drehimpuls mit  $\alpha$ -Abhängigkeit lautet:

$$dL(\alpha) = 2 \cdot 2\pi \ dM(\alpha) \ v(\alpha) \ r(\alpha) \ d\alpha$$

$$L(\alpha) = 4\pi \, \int_0^\alpha m_{Obj} \cos^2(\alpha) \, v(\alpha) \, r(\alpha) \; \mathrm{d}\alpha$$

mit:  $0 \le \alpha \le 45^{\circ}$ 

$$L(\alpha) = 4\pi \ m_{Obj} \ v(\alpha) \ r(\alpha) \ \int_0^{\frac{\pi}{4} \cdot 45^\circ} \cos^2(\alpha) \ d\alpha = 4\pi \ m_{Obj} \ v(\alpha) \ r(\alpha) \ \{ [\frac{1}{2} \alpha + \frac{1}{4} \sin(2\alpha)] \}^{\frac{\pi}{4} \cdot 45^\circ}$$

$$L(\alpha) = 4\pi \ m_{Obj} \ v(\alpha) \ r(\alpha) \ \{ [\ \frac{1}{2} \frac{\pi}{4} + \frac{1}{4} \sin(2\cdot 45^\circ)\ ] - [\ \frac{1}{2} \cdot 0 + \frac{1}{4} \sin(2\cdot 0)\ ] \}$$

$$L(\alpha) = 4\pi \ m_{Obj} \ v(\alpha) \ r(\alpha) \ (\frac{\pi + 2}{8}) = 2\pi \ m_{Obj} \ v(\alpha) \ r(\alpha) \ (\frac{\pi + 2}{4})$$
 (2.43)

→ Drehimpuls eines rotierenden Photons im Wellenfeld an einem beliebigen Ort mit Feldwinkel α

Der Mittelwert des Drehimpulses mit Division  $\frac{\pi}{4}$  liefert:

$$L(\alpha)_{\emptyset} = 2\pi \ m_{Obj} \ v(\alpha) \ r(\alpha) \ (\frac{4\pi + 8}{4\pi}) = 2\pi \ m_{Obj} \ v(\alpha) \ r(\alpha) \ (\frac{\pi + 2}{\pi})$$
 (2.44)

→ Durchschnittlicher Drehimpuls im Wellenfeld mit den Abhängigkeiten:  $v(\alpha) \sim r(\alpha) \sim \sin(\alpha)$ 

Der Unterraum U rotiert bezogen auf das Teilchenfeld mit seiner Sinusperiodizität orthogonal zur Dimensionsebene  $D_{56}$ . Der maximale Impulsübertrag wird während der Phase der maximalen Ausdehnung der Unterräume geleistet. Hierfür ist der



Drehimpuls bezüglich des Teilchenfelds proportional zu einem weiteren Faktor  $sin(\alpha)$  aus der ursprünglichen Orientierungsachse hinzuzufügen.

$$L_{Teilchenfeld}(\alpha) = 2\pi \ m_{Obj} \ r \ c \left(\frac{\pi + 2}{\pi}\right) \int_0^\alpha \sin^3(\alpha) \ d\alpha \qquad \qquad \text{mit: } 0 \le \alpha \le 45^\circ$$

$$L_{Teilchenfeld}(\alpha) = 2\pi \ m_{Obj} \ r \ c \ (\frac{\pi + 2}{\pi}) \ \{ [\ \frac{1}{3} \cos^3(\alpha) - \cos(\alpha)\ ] \}_0^{45^\circ}$$

$$L_{Teilchenfeld}(\alpha) = 2\pi \ m_{Obj} \ r \ c \ (\frac{\pi + 2}{\pi}) \ \{ [ \ \frac{1}{3} \cos^3(45^\circ) - \cos(45^\circ) \ ] - [ \ \frac{1}{3} \cos^3(0) - \cos(0) \ ] \}$$

$$L_{Teilchenfeld}(\alpha) = 2\pi \ m_{Obj} \ r \ c \ (\frac{\pi + 2}{\pi}) \ 0.077411...$$

Der Mittelwert des Drehimpulses gegenüber dem Teilchenfeld mit Division  $\frac{\pi}{4}$  liefert:

$$L_{\varnothing\_Teilchenfeld} \approx 2\pi \ m_{Obj} \ r \ c \ (\frac{\pi + 2}{\pi}) \ \frac{\pi}{4} \ 0,077411...$$

$$L_{\varnothing\_Teilchenfeld} \approx 2\pi \ m_{Obj} \ r \ c \ \frac{1}{2\pi}$$

mit: 
$$r = \frac{\lambda}{2\pi}$$
;  $\lambda \sim \frac{1}{m_{Obi}}$ 

$$L_{\emptyset\_Teilchenfeld} = m_{Obj} \, \lambda_{Obj} \, c \, \frac{1}{2\pi} = m_{Obj} \, \lambda_{Obj} \, k_{Obj} \, R_{Obj} \, \frac{1}{2\pi} = \frac{h}{2\pi}$$

 $L_{\emptyset\_Teilchenfeld}$  – durchschnittlicher Drehimpuls im Teilchenfeld

h – plancksches Wirkungsquantum  $R_{Obj}$  – Feldradius des Objektes

 $\lambda_{\mathit{Obj}}$  – Wellenlänge des Objektes  $k_{\mathit{Obj}}$  – Kreisfrequenz des Objektes

 $m_{Obj}$  – Objektmasse c – Maximalgeschwindigkeit

- → Durchschnittlicher Drehimpuls im Teilchenfeld
- → Anteil plancksches Wirkungsquantum h für das Teilchenfeld

Gegenprobe zur obigen Herleitung:

mit: 
$$\lambda_{Photon} = 552$$
 nm;  $c = 299792458 \frac{\text{m}}{\text{s}}$ ;  $m_{Photon} = 4,004 \cdot 10^{-36}$  kg;  $E_{Photon} = 3,6 \cdot 10^{-19}$  J

$$R_{Pho} = \frac{G m_{Pho}}{c^2} = 2,9715 \ 10^{-63} \text{ m}; \ k_{Pho} = \sqrt{\frac{G m_{Pho}}{R_{Pho}^3}} = 1,0089 \ 10^{71} \ \frac{1}{\text{s}}$$

$$h = 4,004 \ 10^{-36} \ \text{kg} \cdot 552 \ \text{nm} \cdot 299792458 \ \frac{\text{m}}{\text{s}} = 6,626 \ 10^{-34} \ \text{Js}$$



oder: 
$$\underline{h} = 4,004 \ 10^{-36} \ \text{kg} \cdot 552 \ \text{nm} \cdot 1,0089 \ 10^{71} \ \frac{1}{\text{s}} \cdot 2,9715 \ 10^{-63} \ \text{m} \approx \underline{6,626} \ 10^{-34} \ \text{Js}$$

Vergleich plancksches Wirkungsquantum aus der Literatur:  $h = 6,626 \cdot 10^{-34} \text{ Js}$ 

Das **plancksche Wirkungsquantum** h beschreibt die proportionale Wirkung eines Photons auf seine Umgebung mit einem festgelegten linearen Anstieg der Energie in Abhängigkeit der Frequenz. Die FRM leitet das plancksche Wirkungsquantum h für das Teilchenfeld über das Produkt aus der Masse M, der Wellenlänge  $\lambda$  und der maximalen Feldausbreitungsgeschwindigkeit c her; oder alternativ über das Produkt aus der Masse M, der Kreisfrequenz k, der Wellenlänge  $\lambda$  und dem Feldradius R. Das plancksche Wirkungsquantum h kann als eine invariante Bezugsgröße mit  $h = 6,626 \cdot 10^{-34}$  Js betrachtet werden, weil es keine äußere Kraft für das Universum und sein Photonenfeld gibt, welche seinen Drehimpuls ändern könnte.

Hinweis: zum Drehimpuls mit 
$$L = \frac{h}{2\pi}$$

Der mathematisch dargestellte Drehimpuls eines Photons entspricht einer sinusperiodischen Abfolge als Kontraktion und Expansion seines 6-dimensionalen Hohlkörpers.

Der Materiepuls aus Abbildung 2.12 ist mit

$$P = m_{Obj} c [P] = kg \frac{m}{s} (2.46)$$

am Berührungspunkt in der Dimensionsebene  $D_{56}$  verortet. Die Masse wird sinusperiodisch in das Teilchenfeld vermittelt. Mit dem Impuls werden alle Wechselwirkungsfelder ausgetauscht und die Raumzeitdeformation über die Gravitationskraft registriert.



# <u>Relativistischer Energiezuwachs – Raumzeitwirkung auf beschleunigte</u> <u>Objekte:</u>

Das unsichtbare Photon in **Abbildung 2.13 rechts** erfährt im Wellenfeld  $F_{4-6}$  eine erhöhte Feldausbreitungsgeschwindigkeit  $V_4$ , während die Feldausbreitungsgeschwindigkeit  $V_5$  relativistisch abnimmt. Der Bewegungsablauf der kreisrunden Rotation mit  $\sin(kt)$  verschiebt sich in die Dimensionsebene  $D_{45}$ , was zu einer elliptischen Bahn führt. Die vergrößerte Fläche stellt den zusätzlichen Energiebedarf dar, den diese Arbeit verrichtet. Die Oberflächendistanz eines Objektes bezogen auf das Hohlkugelmodell des Feldraums vergrößert sich entsprechend nach **Abbildung 2.4** mit:

$$\frac{c^2}{c^2 - V_4^2} = \frac{1}{\sin^2(kt)}$$

Dieser Faktor entspricht dem relativistischen Energiezuwachs bei einer Raumzeitdeformation relativ zu einem Inertialsystem. Die **Abbildung 2.13** zeigt den Mechanismus für ein Objekt.

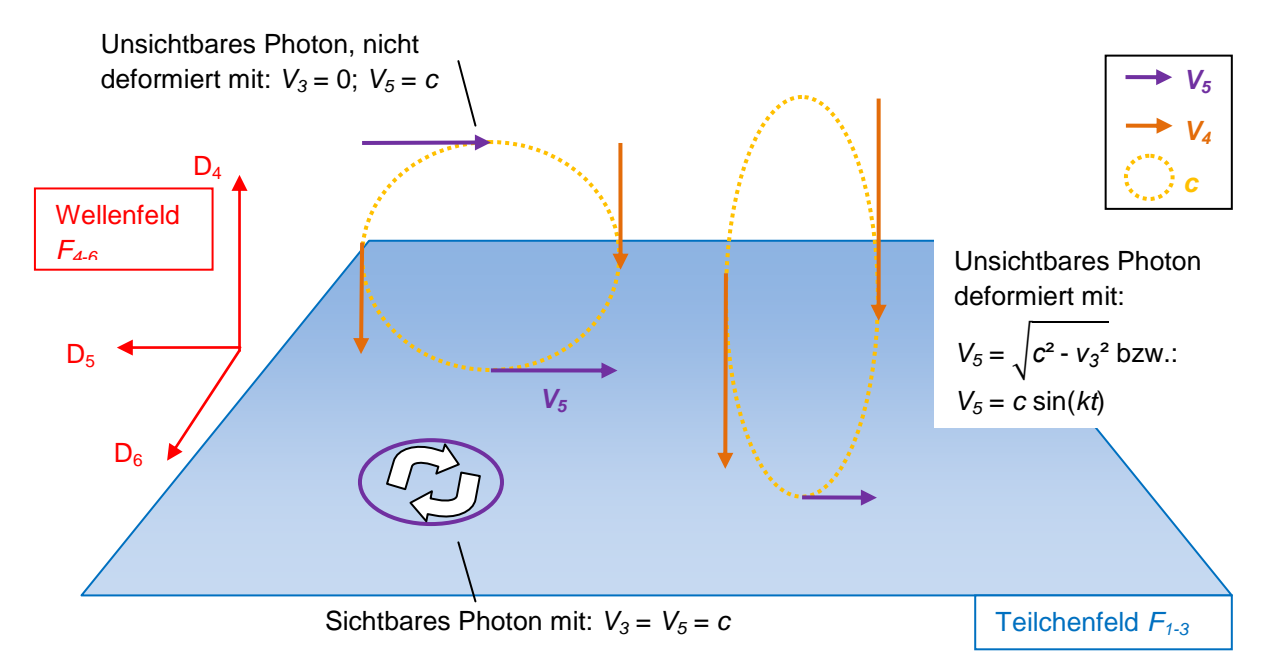


Abbildung 2.13: Links oben: das unsichtbare Photon im Ruhezustand  $V_3 = 0$ ,  $V_5 = c$ ; unten: das sichtbare Photon  $V_3 = V_5 = c$ ; rechts: das unsichtbare Photon in Bewegung  $V_3 \rightarrow c$ ;  $V_5 \rightarrow 0$ 

Da die Rotation stets mit der invarianten Größe für die Umlaufgeschwindigkeit mit c und der konstanten Kreisfrequenz k stattfindet, vergeht die Objektzeit  $t_{Obj}$  über den längeren Rotationsweg langsamer.



Das hat unter anderem zur Folge, dass der Materiepuls (**Abbildung 2.12 rechts**) mit  $P = m_{Obj} c$  relativ zur Normalzeit t verlangsamt und somit größeren zeitlichen Abständen gemessen wird. Für die relativistische Betrachtung des Materiepulses mit einer normierten Objektmasse  $m_{Obj}$  gilt:

$$P = m_{Obj} \sqrt{\frac{c^2}{\sin^2(kt)}}$$

$$P = m_{Obj} \frac{c}{\sin(kt)} = m_{Obj} \frac{c^2}{V_5}$$
(2.47)

Es bleibt der Raumzeit die Freiheit, sich abhängig der elliptischen Rotationsbahn so zu deformieren, sodass ein Gleichgewicht gegen die raumzeitmechanischen Effekte wiederhergestellt wird (**Abbildung 2.14**). Für eine Raumzeitdeformation wird so die Gravitationskraft als eine Ausgleichskraft dargestellt, die eine zusätzliche Arbeit voraussetzt.

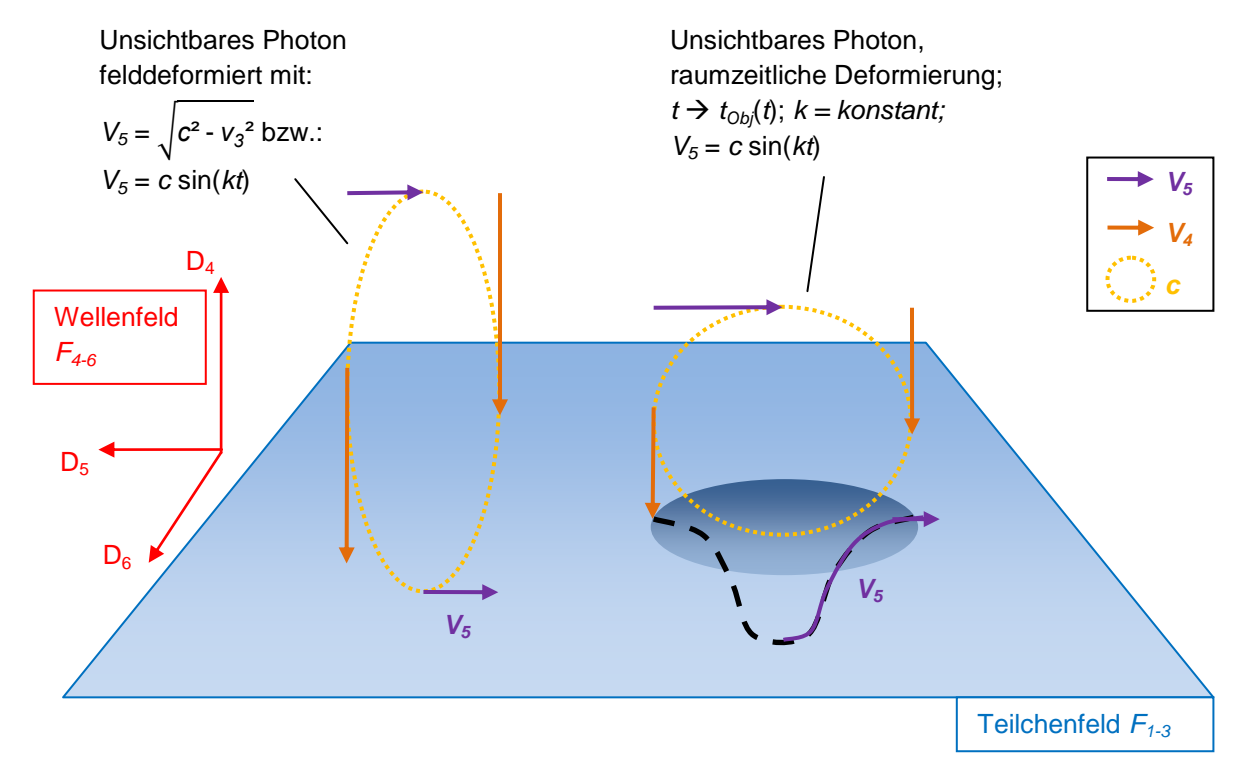


Abbildung 2.14: Zwei mögliche Darstellungsformen einer Raumzeitdeformation mit seiner Felddeformation

Aus dem Blickwinkel des Inertialsystems kommt es zur sogenannten gravitativen Rotverschiebung, sobald sich eine elektromagnetische Welle aus einem felddeformierten Raum heraus bewegt.

Hinweis: Ein sichtbares Photon besitzt im Gegensatz zu einem unsichtbaren Photon keine Feldausbreitungsgeschwindigkeit  $V_4$  und ist somit allein nicht in der Lage, ein Raumsegment über die Lorentztransformation mit dem Faktor 1 hinaus zusätzlich zu deformieren.



$$\lambda_{Obj}(t) = \frac{\lambda_{Obj}}{\sin(kt)} \qquad (\text{gravitative Rotverschiebung}) \qquad \text{mit } \alpha = kt \text{ (allgemein)}$$

$$P = m_{Obj} \frac{c^2}{V_5} = m_{Obj} \frac{c}{\sin(kt)}$$

$$E_{Obj}(t) = h f \frac{1}{\sin^2(kt)} = m_{Obj} c^2 \frac{1}{\sin^2(kt)}$$

$$E_{Obj}(t) = m_{Obj} c^2 \frac{1}{\sin^2(\alpha = 90^\circ)}$$

$$f \text{ ür } V_5 = c; \ V_4 = 0$$

$$E_{Obj}(t) = m_{Obj} c^2 \frac{1}{\sin^2(0 < \alpha < 90^\circ)}$$

$$f \text{ ür } V_5 \Rightarrow 0; \ V_4 \Rightarrow c$$

#### Ergebnis für das Photonenmodell:

Die FRM-ART für den 6-dimensionalen Feldraum beschreibt die raumzeitmechanischen Effekte sowohl für die Kosmologie als auch für den Mikrokosmos. Dabei wird die These aus Kapitel 1 bestätigt, dass zur Beschreibung von raumzeitmechanischen Effekten auf die Trigonometrie zurückgegriffen werden kann. Dabei wurde für das Photonenfeld, welches den gesamten kosmischen Raum erfüllt, der relativistische Zusammenhang zum kosmischen Inertialsystem definiert. Somit gilt für jede spezifizierte Physik eine reine geometrische Beziehung zwischen Energie und Raumzeit. In diesem Modell wurde die Beziehung auch Energie-Raumzeit-Äguivalenz genannt. Aufgrund der allgemeinen Geometrie des Wellenfeldes lassen sich die relativistischen Zusammenhänge in den Mikrokosmos übertragen. Das Photonenmodell ist daher eine rein relativistische Raumzeitdarstellung, die mit ihrer Geometrie den Zustand von Materie beschreibt. Dieses Modell unterscheidet je nach geometrischer Lage im Wellenfeld zwischen sichtbaren und unsichtbaren Photonen bzw. Materie. Es wird zusätzlich eine Erklärung für den Welle-Teilchen-Dualismus ermöglicht. Dieses Photonenmodell liefert zum klassischen Modell eine alternative Herleitung für die Kraft-, Energie- und Impulsgleichung.

Das **Kapitel 3** soll anhand des Elektronen- und Teilchenmodells die geometrischen Bedingungen des 6-dimensionalen Feldraums bestätigen, indem es eine Generalformel für die Masse und Frequenz für alle Teilchen liefert. Die theoretischen Ergebnisse werden anschließend mit den experimentellen Messungen verglichen. Die Vorhersagen verifizieren schließlich das Modell der FRM.